

ДАЧИ УСТОЙЧИВОСТИ УПРУГОВЯЗКОПЛАСТИЧЕСКИХ ТЕЛ

А. Н. Спорыхин, В. Г. Трофимов

(Воронеж)

На основании трехмерных линеаризованных уравнений устойчивости исследуется процесс деформирования упруговязкопластических тел при сжатии их вдоль оси x_3 усилиями интенсивности p и вдоль осей x_1 и x_2 усилиями интенсивности q . Докритические деформации являются малыми и однородными.

В качестве примера исследуется устойчивость плит. Приводится графическая зависимость критических нагрузок от свойств и геометрии плит.

1. В работах [1,2] приводятся общие решения статических и динамических уравнений устойчивости [3,4] для упрочняющихся упруговязкопластических тел при сжатии их вдоль оси x_3 .

Приведенные решения по аналогии с результатами, полученными для упругих, вязкоупругих и пластических тел [5,6] при малых однородных докритических деформациях, позволяют исследовать обширный класс задач устойчивости упруговязкопластических тел.

Напряженно-деформированное состояние трехмерного тела до потери устойчивости определяется соотношениями

$$(1.1) \quad \sigma_{11}^0 = \sigma_{22}^0 = -q, \quad \sigma_{33}^0 = -p, \quad \sigma_{ij}^0 = 0 \quad (i \neq j) \\ 2e_{11}^{p_0} = 2e_{22}^{p_0} = -e_{33}^{p_0} = 2(p - q - k\sqrt{1.5})/3c, \quad e_{ij}^{p_0} = 0 \quad (i \neq j)$$

Линеаризованные уравнения устойчивости [3,4] представим в форме

$$(1.2) \quad L_{ij} u_j = 0 \quad (i, j = 1, 2, 3)$$

где дифференциальные операторы имеют вид

$$L_{ij} = (\lambda + \mu + a_j b_i) \frac{\partial^2}{\partial x_i \partial x_j} + \delta_{ij} \left[(\mu - q) \frac{\partial^2}{\partial x_1^2} + (\mu - q) \frac{\partial^2}{\partial x_2^2} + (\mu - p) \frac{\partial^2}{\partial x_3^2} - \rho s^2 \right] (b_i = s_{ii}^0 - c e_{ii}^{p_0}, \quad a_j = 4\mu^2 (b_1 + b_2 + b_3 - 3b_j) [3k^2 (2\mu + c + s\eta)]^{-1})$$

Для цилиндрического тела с криволинейным контуром поперечного сечения общее решение уравнений устойчивости имеет вид

$$(1.3) \quad u_n = \frac{\partial}{\partial \tau} \Psi_1 - \frac{\partial^2}{\partial n \partial x_3} \Psi, \quad u_\tau = -\frac{\partial}{\partial n} \Psi_1 - \frac{\partial^2}{\partial \tau \partial x_3} \Psi \\ u_3 = \frac{\lambda + 2\mu + a_1 b_1 - q}{\lambda + \mu + a_3 b_1} \left(\Delta + \frac{\mu - p}{\lambda + 2\mu + a_1 b_1 - q} \frac{\partial^2}{\partial x_3^2} - \frac{\rho s^2}{\lambda + 2\mu + a_1 b_1 - q} \right) \Psi$$

Здесь через n и τ обозначены соответственно нормаль и касательная к контуру поперечного сечения.

Функции Ψ и Ψ_1 определяются из уравнений

$$(1.4) \quad \left(\Delta + \frac{\mu - p}{\mu - q} \frac{\partial^2}{\partial x_3^2} - \frac{\rho s^2}{\mu - q} \right) \Psi_1 = 0 \quad \left(\Delta = \frac{\partial^2}{\partial x_1^2} + \frac{\partial^2}{\partial x_2^2} \right)$$

$$\left[\left(\Delta + \frac{\mu - p}{\lambda + 2\mu + a_1 b_1 - q} \frac{\partial^2}{\partial x_3^2} - \frac{\rho s^2}{\lambda + 2\mu + a_1 b_1 - q} \right) \left(\Delta + \frac{\lambda + 2\mu + a_3 b_3 - p}{\mu - q} \frac{\partial^2}{\partial x_3^2} - \frac{\rho s^2}{\mu - q} \right) - \frac{(\lambda + \mu + a_3 b_1)(\lambda + \mu + a_1 b_3)}{(\lambda + 2\mu + a_1 b_1 - q)(\mu - q)} \Delta \frac{\partial^2}{\partial x_3^2} \right] \Psi = 0$$

В статической постановке ($s = 0$) функции Ψ_i являются решениями уравнений

$$(1.5) \quad (\Delta + \xi_i^2 \frac{\partial^2}{\partial x_3^2}) \Psi_i = 0 \quad (\Psi = \Psi_2 + \Psi_3)$$

где постоянные ξ_i^2 имеют вид

$$\xi_1^2 = \frac{\mu - p}{\mu - q}, \quad \xi_{2,3}^2 = A \pm \left[A^2 - \frac{(\lambda + 2\mu + a_3 b_3 - p)(\mu - p)}{(\lambda + 2\mu + a_1 b_1 - q)(\mu - q)} \right]^{1/2}$$

$$A = \frac{1}{2} \left[\frac{\lambda + 2\mu + a_3 b_3 - p}{\mu - q} + \frac{\mu - p}{\lambda + 2\mu + a_1 b_1 - q} - \frac{(\lambda + \mu + a_3 b_1)(\lambda + \mu + a_1 b_3)}{(\lambda + 2\mu + a_1 b_1 - q)(\mu - q)} \right]$$

В случае плоской деформации (x_1, x_3) решение системы уравнений (1.2) можно представить в виде

$$(1.6) \quad u_1 = L_{33} \Psi, \quad u_3 = -L_{31} \Psi$$

Решение уравнения (1.4), периодическое по оси x_3 , запишем в форме

$$(1.7) \quad \Psi = (C_m^1 e^{k_2 x_1} + C_m^2 e^{-k_2 x_1} + C_m^3 e^{k_3 x_1} + C_m^4 e^{-k_3 x_1}) \sin(\gamma x_3)$$

$$k_{2,3}^2 = D \pm \sqrt{F}, \quad D = A\gamma^2 + \frac{\rho s^2 (\lambda + 3\mu + a_1 b_1 - 2q)}{2(\mu - q)(\lambda + 2\mu + a_1 b_1 - q)}$$

$$F = D^2 - \frac{(\mu - p)(\lambda + 2\mu + a_3 b_3 - p)\gamma^4 - \rho s^2 (\lambda + 3\mu + a_3 b_3 - 2p)\gamma^2 + \rho^2 s^4}{(\mu - q)(\lambda + 2\mu + a_1 b_1 - q)}$$

($\gamma = \pi m / l; \quad m = 1, 2, 3, \dots, \infty$)

Решение (1.7) удовлетворяет условиям шарнирного опирания на торцах в интегральном смысле.

2. Исследуем устойчивость деформирования плиты толщиной $2h$ и длиной l . Принято, что до момента потери устойчивости напряженно-деформированное состояние плиты описывается соотношениями (1.1), а в момент потери устойчивости деформация происходит в плоскости $x_1 x_3$.

Граничные условия на боковой поверхности $x_1 = \pm h$ приводят к соотношениям

$$(2.1) \quad \left(\frac{\partial^2}{\partial x_1^2} + B_1 \frac{\partial^2}{\partial x_3^2} - s^2 B_3 \right) \frac{\partial \Psi}{\partial x_1} = 0, \quad \left(\frac{\partial^2}{\partial x_1^2} - B_2 \frac{\partial^2}{\partial x_3^2} + s^2 B_4 \right) \frac{\partial \Psi}{\partial x_3} = 0$$

$$B_1 = \frac{\lambda + 2\mu + a_3 b_3 - p}{\mu - q} - \frac{(\lambda + \mu + a_1 b_3)(\lambda + a_3 b_1)}{(\mu - q)(\lambda + 2\mu + a_1 b_1 - q)}, \quad B_3 = \frac{\rho}{\mu - q}$$

$$B_2 = \frac{\mu(\lambda + 2\mu + a_3 b_3 - p)}{(\mu - q)(\lambda + a_1 b_3) - \mu(\mu - q)},$$

$$B_4 = \frac{\rho \mu}{(\mu - q)(\lambda + \mu + a_1 b_1) - \mu(\mu - q)}$$

В выражениях (2.1) следует положить $r = q$, если нагрузка q «мертвая», $r = 0$, если нагрузка «следящая».

Из уравнений (1.7) и (2.1) при условии существования ненулевых решений получаем трансцендентные уравнения для определения критических нагрузок

$$(2.2) \quad \frac{k_2(k_2^2 - B_1\gamma^2 - s^2B_3)(k_3^2 + B_2\gamma^2 + s^2B_4)}{k_3(k_3^2 - B_1\gamma^2 - s^2B_3)(k_2^2 + B_2\gamma^2 + s^2B_4)} = \text{th}(k_3h) \text{cth}(k_2h)$$

$$(2.3) \quad \frac{k_2(k_2^2 - B_1\gamma^2 - s^2B_3)(k_3^2 + B_2\gamma^2 + s^2B_4)}{k_3(k_3^2 - B_1\gamma^2 - s^2B_3)(k_2^2 + B_2\gamma^2 + s^2B_4)} = \text{th}(k_2h) \text{cth}(k_3h)$$

Соотношения (2.2) и (2.3) являются критериями устойчивости соответственно, когда перемещение u_1 четное и нечетное по x_1 .

Для тонкой пластинки, используя разложение тригонометрических множителей в степенной ряд и пренебрегая сжимаемостью материала, в случае следящей нагрузки q из (2.2) получим алгебраическое уравнение

$$(2.4) \quad \{3(1-q) + (3+2q)\alpha^2\} \rho s^2 - \gamma_1^2 \{3(1-q)(p+q) - \alpha^2[3p+d-4-q(1-p-q-d)]\} = 0, \quad \gamma_1 = \pi/l, \\ \alpha = \gamma_1 h, \quad d = 6/(2+c+s\eta)$$

Здесь все величины, имеющие размерность напряжения, отнесены к величине $E/3$.

Перепишем (2.4) в виде

$$(2.5) \quad d_3 s^3 + d_2 s^2 + d_1 s + d_0 = 0 \\ d_0 = (2+c)d_1/\eta + 6\alpha^2\gamma_1^2(1+q), \quad d_1 = \eta\gamma_1^2[3p(1+\alpha^2) - 4\alpha^2 + pq(\alpha^2-3) - q(3q+q\alpha^2+\alpha^2)], \\ d_2 = \rho(2+C)[3(1-q) + (3+2q)\alpha^2], \quad d_3 = \eta d_2(2+c)^{-1}$$

Применение критерия Гурвица [7] показывает, что неустойчивость возникает только тогда, когда $d_0 = 0$. При этом характеристический показатель s переходит на правую полуплоскость комплексного переменного через $s = 0$. Для критической нагрузки p имеем

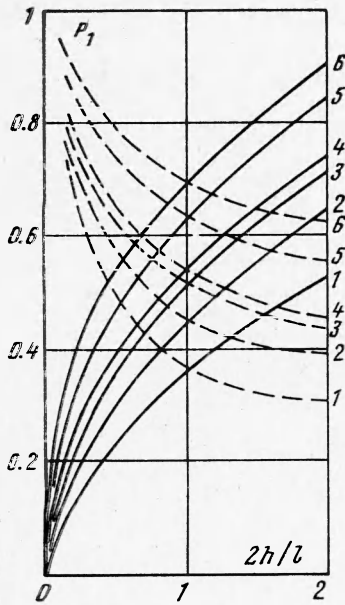
$$(2.6) \quad p = \frac{2\alpha^2 + 2q[3q + \alpha^2(q-2)] + c[3q^2 + \alpha^2(4+q+q^2)]}{3(2+c)(1+\alpha^2) + q(\alpha^2-3)}$$

В случае мертвой нагрузки возможен статический тип неустойчивости [4]. Для тонкой пластины из (2.2) можно получить выражение критической силы p с точностью до α^4

$$(2.7) \quad p = \frac{q}{q-1} + \frac{\alpha^2}{3(q-1)^3} [(1-q)d - (2-q)^2] + \\ + \frac{\alpha^4}{3(q-1)^5} \left\{ \frac{1}{3} (2q-3) [(1-q)d - (2-q)^2] - \right. \\ \left. - \frac{2}{5} [(q-1)(2-q-d) - q] [(1-q)d - (q-2)^2] \right\}$$

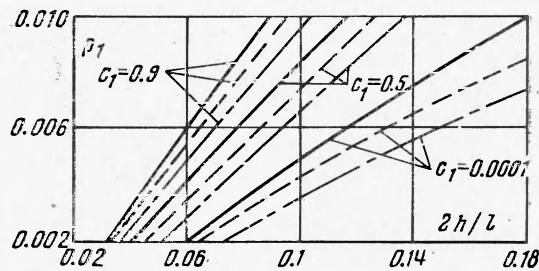
Исследуем влияние свойств материала и геометрических размеров плиты на форму выпучивания и на величину критической силы. Полагаем, что на плиту действует только равномерная сжимающая нагрузка p ($q = 0$). Как было показано, возможны две формы выпучивания: боковое (2.2) и бочкообразное (2.3). Уравнения (2.2) и (2.3) в статической постановке решались численно на ЭЦВМ БЭСМ-4 при различных значениях параметров ν , c_1 и $2h/l$; ν — коэффициент Пуассона, $c_1 = c/E$.

Зависимость величины критической нагрузки $p_1 = p / E$ от формы выпучивания и указанных параметров представлена на фиг. 1. Сплошные линии соответствуют боковому выпучиванию, а штриховые — бочкообразному.



Фиг. 1

Кривые с номерами 1, 2, 3 и 4, 5, 6 соответствуют коэффициентам упрочнения $c_1 = 0.0001$ и 0.75. Кривые с номерами 1, 4 соответствуют $\nu = 0.2$, 2, 5 — $\nu = 0.3$, 3, 6 — $\nu = 0.5$. Как видно из фиг. 1, при малых докритических деформациях бочкообразное выпучивание ввиду нереальных критических нагрузок не наблюдается. Боковое выпучивание имеет место для пластин с соотношением $2h / l < 0.2$ (фиг. 2). Сплошные линии соответ-



Фиг. 2

ствуют $\nu = 0.5$, штриховые — $\nu = 0.3$, штрихпунктирные — $\nu = 0.2$. Для $2h / l > 0.2$ основными являются прочностные свойства плит.

Поступила 5 III 1973

ЛИТЕРАТУРА

1. Спорыхин А. Н., Трофимов В. Г. К построению общего решения линеаризованных уравнений плоской задачи устойчивости упруговязкопластических тел. Тр. научн.-исслед. ин-та матем. Воронежск. ун-та, 1971, вып. 4.
2. Спорыхин А. Н., Трофимов В. Г. Устойчивость упруговязкопластических тел. Прикл. механ., 1972, т. 8, вып. 9.
3. Новожилов В. В. Основы нелинейной теории упругости. М., Гостехиздат, 1948.
4. Болотин В. В. Неконсервативные задачи теории упругой устойчивости. М., Физматгиз, 1961.
5. Гузь А. Н. О трехмерной теории устойчивости деформирования материалов с реологическими свойствами. Изв. АН СССР, МТТ, 1970, № 6.
6. Гузь А. Н. Устойчивость трехмерных деформируемых тел. Киев, «Наукова думка», 1971.
7. Демидович Б. П. Лекции по математической теории устойчивости. М., «Наука», 1967.